

連続曲線桁における曲率面内変位の影響について

秋田大学 鉱山学部 土木工学科 正員 塚農 知徳
 正員 薄木 征三
 学生員 山岸 一彦

1. 本文が 曲線桁の基礎弾性方程式を任意の座標軸に因て求めた、曲率面内変位と曲率面外変位が連成して、4元連立微分方程式として得られることはすでに知られている。そして一般に橋梁に用いられる曲り梁、すなわち、曲線桁は曲率面外荷重のみを作用外力と考へ、曲率面外と曲率面内とに關する弾性方程式に分離して曲率面外変位に關する2元連立微分方程式を求めて解析してゐる。この時、その曲線桁の断面諸量の値が曲率面内における変位と曲率面外への変位との連成を左右している。例之は、任意軸に關する変位を表わした弾性方程式で、曲線桁の断面が曲率面に平行な軸に因て対称な場合には連成する項に對する断面諸量 (Z_y, J_{zy}, C_x) はすべて零となり完全に分離独立する。これ以外の場合には中立軸および断面中心軸に關する変位を表わして、さらに断面主軸を用いて連成項の断面諸量はすべて零とはならない。即ち曲率面内における変位と曲率面外への変位との連成が残ることになる。一般に橋梁に用いられる曲線桁の断面では曲率面に平行な軸に因て対称な場合とは上下フランジが等しいI形断面と上下フランジ板厚が等しく上下フランジ張出し部のない箱断面に限られる。よつて従来多くの曲線桁は曲率面内変位の影響を無視して設計して来たわけである。そこで、この理論的には厳密性を欠く曲率面内変位を無視した弾性方程式が実用上いかなる精度をもつてゐるの考察のことにしてこの目的のためには著者らが誘導した薄肉断面曲線桁の剛性マトリクス⁽¹⁾を用いると曲率面内変位と曲率面外変位との連成について詳細に説明され、故に曲率面内変位の影響を考慮して曲線桁の解析が容易に計算されることになる。

2. 薄肉断面曲線桁の剛性マトリクス

図-1(a)に示すような曲線桁要素 $i-j$ に対して円柱座標系 $(0'-r, \theta, s)$ と右手系直角座標系 $(i-x, y, z)$ を用いる。軸線 $i-j$ は断面の任意の点を通る切線である。節点力と節点変位は図-1(b)に示す。任意軸に關する変位量とカ・モメント (曲げればれモメントを含む) となる。軸線 $i-j$ の変位 u, v, w および φ を3次のべき関数で近似して、仮想仕事の原理を用い、有限要素法と類似の表示で次の方程式が得られる。

$$\{P\} = \int_V [B]^T [D] [B] dV \cdot \{\delta\} = [K] \{\delta\} \quad (1)$$

$$[K] = \int_0^l \int_F [B]^T [D] [B] t ds \rho d\theta \quad (2)$$

ここで、 $[B]$ は 2×14 マトリクスで各要素は x, y, θ の関数である。 $[D]$ は $\begin{bmatrix} E & 0 \\ 0 & G \end{bmatrix}$ が部材の弾性係数マトリクスである。 $\{P\}$ および $\{\delta\}$ は節点力および節点変位ベクトルで式(3)に示される。

$$\left. \begin{aligned} \{P\} &= [Q_{xi} \ Q_{yi} \ N_{zi} \ M_{zi} \ My_i \ Te_i \ M_{ci} \ Q_{xj} \ Q_{yj} \ N_{zj} \ M_{zj} \ My_j \ Te_j \ M_{cj}]^T \\ \{\delta\} &= [u_i \ v_i \ w_i \ \phi_i \ \varphi_i \ \psi_i \ u_j \ v_j \ w_j \ \phi_j \ \varphi_j \ \psi_j]^T \end{aligned} \right\} \quad (3)$$

$[K]$ は求める剛性マトリクスで 14×14 正方マトリクスである。ここでは要素の配列を曲率面外変位に關するものと曲率面内変位に關するものとに分割して示すと、式(1)は式(4)のようになされる。

$$\begin{Bmatrix} P_x \\ P_\theta \end{Bmatrix} = \begin{bmatrix} K_{\alpha\alpha} & K_{\alpha\beta} \\ K_{\beta\alpha} & K_{\beta\beta} \end{bmatrix} \begin{Bmatrix} \delta_\alpha \\ \delta_\beta \end{Bmatrix} \quad (4) \quad \text{ここで} \quad \begin{Bmatrix} P_x \\ P_\theta \end{Bmatrix} = \begin{Bmatrix} Q_{xi} \ My_i \ Te_i \ M_{ci} \ Q_{xj} \ My_j \ Te_j \ M_{cj} \\ Q_{yi} \ N_{zi} \ M_{zi} \ Q_{yj} \ N_{zj} \ M_{zj} \end{Bmatrix} \quad (5)$$

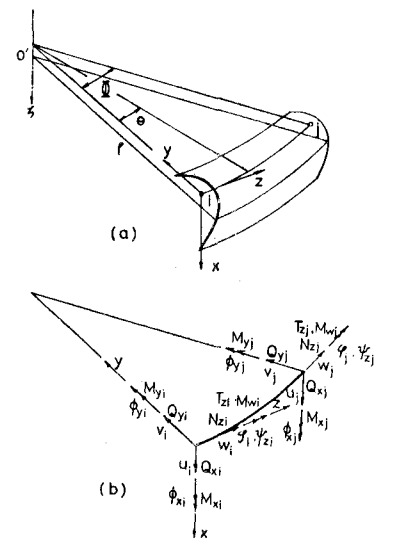


図-1 曲線桁の座標系と節点力および節点変位

$$\left. \begin{aligned} \{\delta_\alpha\} &= [u_{xi} \phi_{yi} \psi_{zi} v_{xj} w_{yj} \psi_{zj}]^T \\ \{\delta_\beta\} &= [v_{xi} w_{zi} \phi_{xi} v_{yj} w_{zj} \phi_{yj}]^T \end{aligned} \right\} \quad (6)$$

剛性マトリックス $[K]$ の各小マトリックスは断面諸量の関数である。

$$\left. \begin{aligned} [K_{\alpha\alpha}] &= [K_{\alpha\alpha}(J_y, C_y, J_w, J_T)] \\ [K_{\alpha\beta}] &= [K_{\alpha\beta}(Z_y, J_{xy}, C_x)] \\ [K_{\beta\beta}] &= [K_{\beta\beta}(F, Z_x, J_x)] \end{aligned} \right\} \quad (7)$$

この断面諸量は次のように定義されている。

$$\left. \begin{aligned} F &= R \int_{F/P} dF, \quad Z_x = R \int_{F/P} y dF, \quad Z_y = R \int_{F/P} x dF \\ J_x &= R \int_{F/P} y^2 dF, \quad J_y = R \int_{F/P} x^2 dF, \quad J_T = \int_{F/R} \left[\frac{R}{\rho} r - \left(\frac{\partial}{\partial s} \left(\frac{\omega}{\rho} \right) \right)^2 dF \right] \\ C_x &= R \int_{F/P} \frac{1}{\rho} \omega y dF, \quad C_y = R \int_{F/P} \frac{1}{\rho} \omega x dF, \quad J_w = R \int_{F/P} \frac{1}{\rho} \omega^2 dF \end{aligned} \right\} \quad (8)$$

3. 剛性マトリックスの特性 式(4)は任意軸に關する剛性

マトリックスであるが今 ①軸線 $i-j$ が中立軸の場合には $Z_x = Z_y = 0$, さらに

x, y 軸が主軸の場合には $J_{xy} = 0$ となる。

また ② 軸線 $i-j$ が断面中心軸の場合には $C_x = C_y = 0$ である。

① ② いずれの場合においても断面が曲面に平行な軸

(y 軸) に關して対称な場合には $Z_y = J_{xy} = C_x = 0$

となる。以上二つは曲面外荷重のみが作用した場合

① の場合には $J_{xy} = C_x \neq 0$, 主軸を選んでは $C_x = 0$, ②

の場合は, $Z_y = J_{xy} \neq 0$ となりいずれも $[K_{\alpha\beta}]$ はある

値をもつことになる。即ち曲面内変位 $\{\delta_\beta\}$ を生ずる。

断面が曲面に平行な軸に關して対称な場合には

$[K_{\alpha\beta}] = 0$ となるから $\{\delta_\beta\} = [K_{\alpha\alpha}]^{-1} \{\delta_\alpha\}$ となり曲

率面外変位に關する方程式は独立して求められる。

曲線桁の断面諸量が直線桁のそれとほぼ等しいとみなせる

場合, 主軸に對称な断面では軸 $i-j$ が中立軸の場合,

$Z_x = Z_y = J_{xy} = C_y = 0$, $C_x \neq 0$, 軸 $i-j$ が断面中心軸

の場合, $Z_x = J_{xy} = C_x = C_y = 0$, $Z_y \neq 0$ となりいずれも

$[K_{\alpha\beta}]$ はある値をもつて面外荷重のみが作用して, 曲面

内変位 $\{\delta_\beta\}$ を生ずる。

4. 数値計算例 図-2のよう連続曲線桁の剛断面, 剛断面

について解析する。断面諸量は表-1に示す。図-3は剛断面

連続曲線桁の格点5におけるたわみと曲げモーメントの影響線を示す。

図-4は剛断面連続曲線桁の格点5におけるたわみと曲げモー

メントの影響線を示す。いずれも断面中心軸に關して直で

取り, 実結果は曲面内変位を無視した場合, 実線は考慮した

場合である。剛断面ではかなりの影響があるが剛断面

については全くの影響は少ないことが分る。参考文献 1) 曲げ剛性

をもつ曲線桁橋の剛性マトリックス法による解析, 工学会論文報告集 No. 229

2) 薄肉断面曲線桁の変形法による解析, 工学会論文報告集 No. 235

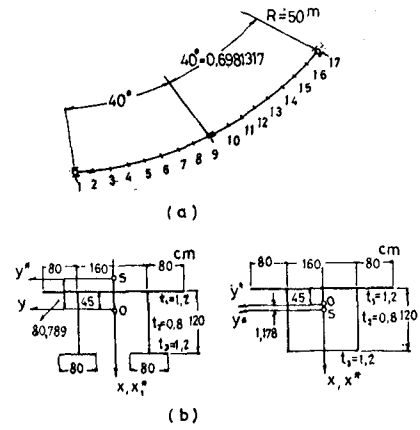


図-2 連続曲線桁と断面形状

表-1 連続曲線桁の断面諸量

断面諸量	F cm ²	Z _x cm	Z _y cm	J _x cm ⁴	J _y cm ⁴	C _x cm ³	C _y cm ³	J _w cm ⁴	J _z cm ⁴
断面中心軸に對称な場合	0.768 × 10 ³	0	0	5.3366 × 10 ⁶	2.1312 × 10 ⁶	4.7155 × 10 ³	0	5.5688 × 10 ³	3.1744 × 10 ³
断面中心軸に對称な場合	0.768 × 10 ³	0	0	4.9152 × 10 ⁶	2.1312 × 10 ⁶	5.7880 × 10 ³	0	8.3310 × 10 ³	2.6025 × 10 ³
断面中心軸に對称な場合	0.768 × 10 ³	0	6.2045 × 10 ²	5.8368 × 10 ⁶	7.1438 × 10 ⁶	0	0	1.7992 × 10 ³	3.1744 × 10 ³
断面中心軸に對称な場合	0.768 × 10 ³	0	9.0444 × 10 ²	4.9152 × 10 ⁶	2.1323 × 10 ⁶	0	0	8.2527 × 10 ³	2.6025 × 10 ³

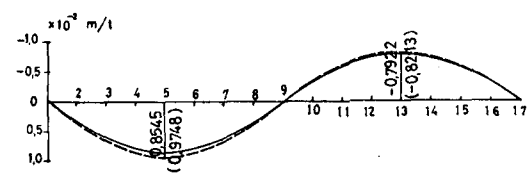


図-3 格点5におけるたわみと曲げモーメントの影響線

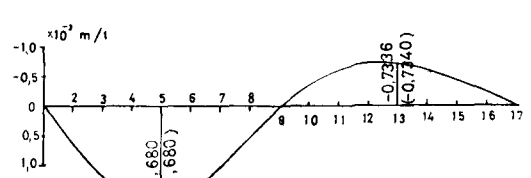


図-4 格点5のたわみと曲げモーメントの影響線